



Eletrodos modificados com nanocompósitos de azul da Prússia/nanotubos de carbono para determinação indireta de ozônio pelo ácido 2-aminobenzoico.

Marcus V.O. Melo (G) 1*, Gabriel N. Santana (G)1, Samuel C. Silva (PQ)2, Jessica S. Stefano (PQ)3, Edson Nossol (PQ)4.

¹Faculdade de Engenharia Química, UFU;²Instituto de Química, UNICAMP; ³Departamento de Tecnologia Química, UFMA;

⁴Instituto de Química, UFU

*Marcus.melo@ufu.br

RESUMO

A crescente utilização do ozônio como agente oxidante em processos industriais e comerciais reforça a necessidade de métodos sensíveis para sua detecção em diferentes matrizes. Neste trabalho, foram desenvolvidos eletrodos modificados com filmes nanocompósitos de azul da Prússia (AP) e nanotubos de carbono (NTC), através do método interfacial água-tolueno. O analito utilizado para detecção indireta foi o ácido 2-aminobenzoico (AAB), devido ser produto da reação do índigo e ozônio. Foi realizada a construção de curvas analíticas através da técnica de cronoamperometria com célula de injeção em batelada (BIA), para detecção do AAB utilizando NTC e AP/NTC, com R² de 0,9948/0,9849, limites de detecção (LD) de 0,13/2,87, limites de quantificação (LQ) de 0,42/9,56 e valores de reprodutibilidade (n = 5) de 14,61% e 10,00% respectivamente.

Palavras-chave: Ozônio, BIA, Amperometria, Nanocompósitos.

Introdução

O ozônio é um forte agente oxidante amplamente aplicado na indústria alimentícia, médica e no tratamento de efluentes. Apesar de sua utilidade, é também um poluente atmosférico secundário com impactos à saúde e ao meio ambiente, o que torna sua quantificação precisa essencial para monitoramento ambiental e eficiência dos processos industriais (1). Sensores eletroquímicos baseados em materiais nanoestruturados têm ganhado destaque como alternativas para dadas aplicações. No método de detecção indireta do ozônio, o ácido 2aminobenzoico (AAB) surge como produto da reação do ozônio com o reagente índigo, sendo utilizado como analito indicativo (2). Dos materiais nanoestruturados, um forte candidato é o azul da Prússia (AP) que se destaca por sua seletividade e sensibilidade frente a diferentes oxidantes, principalmente quando combinado a nanotubos de carbono (NTC), que ampliam a estabilidade eletroquímica e a faixa de operação em pH, conferindo um ganho de comportamento sinérgico de ambos os materiais (3).

Dessa forma, sua detecção e quantificação confiável tornam-se fundamentais para determinar a presença e concentração de O₃ em diferentes matrizes. Eletrodos modificados com azul da Prússia e nanotubos de carbono, se mostraram para bons candidatos para a problemática em questão.

Este estudo foi conduzido em duas etapas principais:

Na primeira etapa, os eletrodos modificados foram preparados por método interfacial líquido-líquido (água-tolueno). A fase aquosa foi composta por soluções separadas de sulfato ferroso/citrato de sódio (FeSO $_4$ / Na $_3$ C $_6$ H $_5$ O $_7$) e ferricianeto de potássio (K $_3$ [Fe (CN) $_6$]). A fase orgânica consiste em nanotubos de carbono dispersos em tolueno. Ambas as fases foram mantidas sob agitação constante por 24 horas, com adição controlada de HNO $_3$ durante as primeiras 4 horas. O filme formado é depositado sobre eletrodos de óxido de índio dopado com estanho (ITO).

Após secos os filmes passam por uma etapa de secagem em estufa por 2 horas a 120°c para pôr fim, serem submetidos aos testes eletroquímicos, em um sistema de 3 eletrodos tendo Ag/AgCl_(sat) como eletrodo de referência. A detecção do analito pela técnica de cronoamperometria, foi realizada sob o uso de uma célula BIA, nas condições de tampão BR 0,05mol L⁻¹ e KCl 0,04 mol L⁻¹, já com parâmetros da pipeta eletrônica otimizados, sento velocidade de injeção de 370μmol L⁻¹ s⁻¹ e volume de 100μL.

Resultados e Discussão

A figura 1 apresenta resultado de espectroscopia Raman, utilizada para caracterização dos materiais aplicados no dado trabalho.

Experimental

A Figura 1 enuncia as bandas características dos materiais de carbono — D, G e 2D — juntamente com os modos vibracionais do azul da Prússia (AP). A banda D, em 1330 cm⁻¹, está associada a defeitos estruturais; a banda G, em 1610 cm⁻¹, refere-se às ligações sp² presentes na estrutura do carbono; e a banda 2D, em 2654 cm⁻¹, está relacionada à presença de múltiplas camadas nos materiais derivados do grafeno. No caso do azul da Prússia, observam-se bandas correspondentes ao estiramento do grupo C≡N em 2155 cm⁻¹, além de bandas atribuídas às ligações Fe-C e Fe-C-N em 534 e 275 cm⁻¹, respectivamente. Comprovando que o método interfacial foi eficiente para obtenção do nanocompósito.

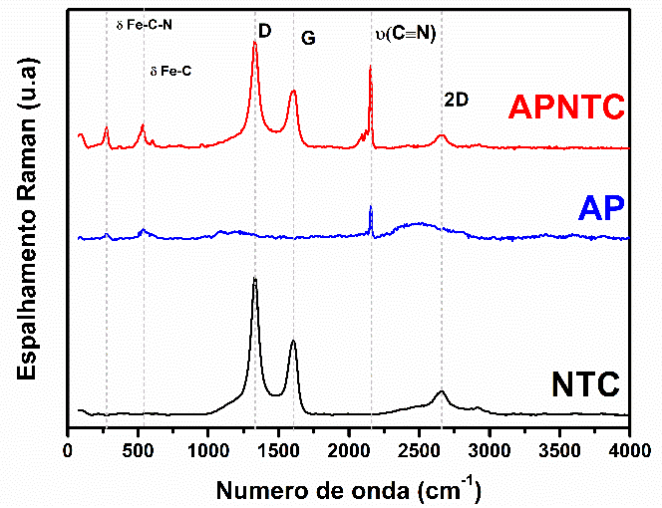


Figura 1. Espectroscopia Raman nos filmes de controle e compósito.

A Figura 2 exibe imagens de microscopia eletrônica de varredura (MEV) dos filmes nanocompósitos de azul da Prússia com nanotubos de carbono (AP/NTC), que nota-se a presença de aglomerados de AP envoltos em estruturas de NTC, mostrando que os materiais de carbono favorecem a nucleação, controle de tamanho e morfologia das partículas de AP.

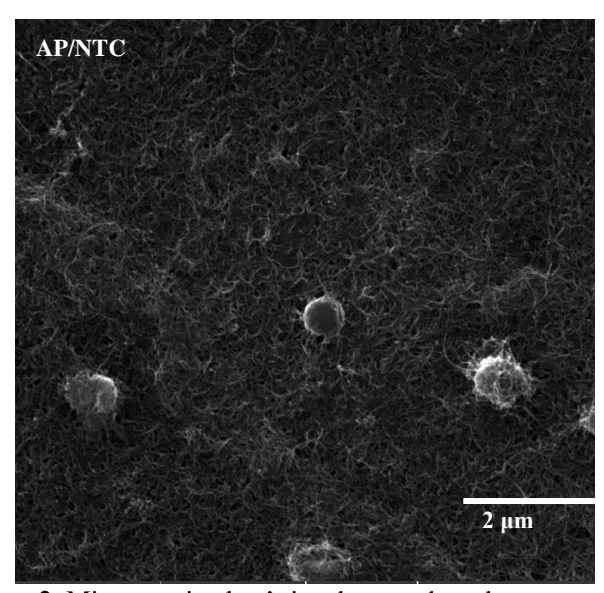


Figura 2. Microscopia eletrônica de varredura do nanocompósitos.

Tanto o filme de controle de NTC e o compósito de AP/NTC apresentaram sensibilidade ao ácido 2-aminobenzóico (AAB), sendo assim, foi realizado medidas de cronoamperometria no potencial de 1,05V, potencial ótimo para detecção já avaliado pelo teste de hidrodinâmico. As curvas da figura 3 e 4 foram determinadas variando as concentrações de AAB de forma ascendente e descendente, a fim da determinação de uma faixa de trabalho para ambos os filmes e seus valores de sensibilidade, conforme é demonstrado pela Tabela 1.

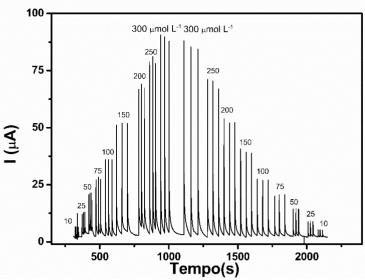


Figura 3. Amperograma AP/NTC 10μmol L⁻¹-300μmol L⁻¹.

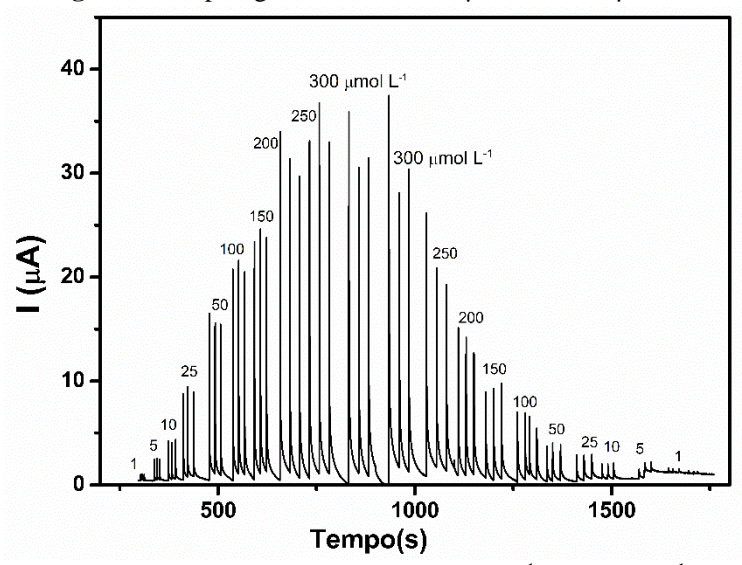


Figura 4. Amperograma NTC 1μmol L⁻¹-250μmol L⁻¹.

Tabela 1. Parâmetros determinados a partir das curvas analíticas

Eletrodo	Sensibilidade $(\mu A/\mu mol L^{-1})$	$\begin{array}{c} LQ \\ (\mu mol \; L^{\; -l}) \end{array}$	LD (µmol L -1)	LR (µmol L ⁻¹)	R²
NTC	2,21 ^b 3,00 ^c	0,42	0,13	1-150	0,9849 0,9882
AP/NTC	3,09 ^b 2,38 ^c	9,56	2,87	10-300	0,9948 0,9942

b-ascendente, c-descendente;

LQ-limite de quantificação, LD-limite de deteção, FL-Faixa linear

Conclusões

Os eletrodos modificados com AP/NTC e NTC mostraram-se promissores como sensores eletroquímicos para detecção em baixas concentrações, apresentando coeficientes de correlação (R²) próximos de 1. Os testes de reprodutibilidade (n = 5) e repetibilidade (n = 10) indicaram desvios padrão relativos de 14,61% e 3,35% para o eletrodo controle (NTC), e de 10,00% e 5,61% para o nanocompósito AP/NTC, respectivamente.

Agradecimentos

Agradeço a FAPEMIG, ao NANOSSOL, a faculdade de Engenharia Química (FEQUFU) e ao Instituo de Química (IQUFU)

Referências

- [1] KNAKE, R.; HAUSER, P. C. Analytica Chimica Acta, 459, 2002, 199207.
- [2] CESARINO, I.; et al. Electroanalysis, 23, 2011, 1512–1517.
- [3] SILVA, S. C. et al. Materials Chemistry and Physics. 250, 2020, 123011.